

※※※※※※※※※※※※※※
※ 氢化锂晶体的能带结构
※ 及电子比热的理论研究
※※※※※※※※※※※※

中国科学院物理研究所

1965·1·

任务委託單位：第二機械工業部第五局

承 担 单 位：物 理 所

任 务 組 成 員：郝 柏 林

于 淩

霍 崇 儒

崔 大 夏

內容提要

这一工作研究了 LiH 晶体的能帶結構與電子比熱。布里渊區內一些對稱點的能量本征值是用正交化平面波（簡稱 OPW）方法計算的。這是將 OPW 方法用于離子晶体能帶結構計算的初次嘗試。計算表明，它具有與用于半導體能帶計算同樣好的收斂性。

LiH 晶体具有半導体型的能帶結構，價帶底與導帶頂在 Γ 點，導帶底在 L 點，價帶頂在 X 點，禁帶寬度約為 4.8 eV 。

根據對稱點的能量值用內插方法求出了能譜的近似解析表示式，並計算了狀態密度。在溫度 $T < 2 \times 10^4 \text{ K}$ 的區間內計算了電子比熱。結果表明，對於正常晶格常數它的數量級不超過 $1 \text{ 卡}/\text{克分子}\cdot\text{度}$ ，相對晶格比熱是一個小的修正。

以位勢矩陣元中對電荷分布敏感的部分作為參量，研究了能帶結構隨參量的變化。結果表明，能帶總體結構對電荷分布細節並不敏感，只有價帶寬度隨參量不同有顯著的變化。利用不同參量下的能譜計算了電子比熱，在 $T < 2 \times 10^4 \text{ K}$ 的溫度區間內，彼此的差別不超過士 $0.2 \text{ 卡}/\text{克分子}\cdot\text{度}$ 。

目 录

I 引 言

II 計算方案

一、物理部分

§ 1 引 言

§ 2 LiH晶体结构的对称分析

§ 3 哈密頓量

§ 4 对称点的能量值

1. OPW方法的描述

2. 心态能量

3. 正交化系数与位势矩阵元

4. 导态的计算

5. 可变参数的选择

§ 5 能譜解析表达式与状态密度

§ 6 电子比热

二、数值计算部分

§ 7 久期方程

§ 8 计算状态密度与电子比热

III 計算結果的分析

§ 9 能带结构

1. 心态能量

• 2 •

- 2. OPV方法的收敛性
- 3. 能带结构的描述
- 4. 能带结构随参数的变化
- 5. 检验计算

§ 10 状态密度与电子比热

IV 附 录

一

二

参考文献

V 計算程序及使用說明

程序 I 計算心態能量

程序 II 計算矩阵元及本征值

程序 III 求能譜系数

程序 IV 計算状态密度与电子比热

I 引言

这一工作的目的是研究 LiH 处于离子晶体状态时的电子能谱与高温高压下的电子比热。鉴于目前对多体体系高激发态能谱的研究还很不成熟，同时在多体理论中还难以自洽地考虑晶体的对称，因此在单电子能带论的范围内研究晶体的电子能谱与电子比热是唯一现实的方法。显然，首要的任务是研究 LiH 晶体的能带结构。

温度与压强对电子能谱的影响主要通过晶格常数的变化表现出来。晶格常数作为温度与压强的函数由状态方程给出。而后者属于其他课题的研究范围。我们的任务归结为计算给定晶格常数下的能带结构与电子比热。事实上，温度效应除通过晶格常数表现外还可能直接影响电子的能谱。鉴于不考虑温度因素的晶体波函数本身的自洽计算尚未作到，考虑温度的自洽就更超乎目前计算技术的可能。因此在这一工作中近似地认为能谱与温度无关。这一近似要求绝大部分电子处于基态，因而比热的计算仅能限制在 $kT \leq \Delta E$ 的温度范围内，这里 ΔE 是费米能级至价带态密度极大点能量的距离。超出这一范围，温度对能谱的影响是不容忽视的。至于更高的温度，LiH 是否仍是具有 NaCl 或 CsCl 结构的离子晶体，是一个有待探讨的问题。

本文是针对 NaCl 结构进行计算的，至于 CsCl 结构只是对称不同，可以完全按照类似方法进行计算。

计算方案原则上适于任意（合理）的晶格常数。根据任务提出单位的建议，这里仅对正常晶格常数完成了计算。

報告共分五个部分。第二部分詳細地描述了計算方案。第三部分分析与討論了計算的結果，得出了若干結論。第四部分提供必要的附录，第五部分给出在 104 型電子計算机上工作的計算程序及其使用說明，供數值計算人員作參考。

II 計算方案

一 物理部分

§ 1. 引言

如前所述，能帶結構的研究是計算比熱的必要前提。迄今見諸于公开文献的 LiH 晶体能帶計算為數無几。1936 年 Ewing 和 Seitz⁽¹⁾ 用元胞法計算了一個對稱方向 (ΓX) 上的能帶。從目前能帶論水平來看，當時的計算是很不可靠的。三十年代時還不清楚元胞法所得能量值對邊界條件取法甚為敏感。事實上，只有當“縫合點”數目足夠大時才會得出穩定的結果。Ewing 等人遠沒有作到這種程度，他們對 Li⁺ 和 H⁻ 离子都取同樣大的元胞，這不能確切反映 LiH 晶体中 H⁻ 离子電子雲的弥散程度。

1959 年 Behringer⁽²⁾ 討論 LiH 晶体在高壓下的金屬轉變時，曾用對稱化平面波方法計算了兩個對稱點 (L, W) 能量與晶格常數的關係。這是從金屬態出發的計算，不能適用於仍處在離子晶体態的 LiH。此外，他把 W 點的波函數取錯了（正確的應屬於 W_2' 表示），所以能量值也不對。

其他 NaCl 結構離子晶体的能帶計算可以借鑑的也不多。三十年代

完成若干元胞法的計算⁽³⁾后，近年来很少有人进行系統的研究。

Howland⁽⁴⁾曾用緊束縛法比較詳細地計算了 LiH 的能帶，但他只討論了價帶。

关于 LiH 能帶仅有的一點知識來自為數很少的紫外光譜数据。

三十年代 Bach⁽⁵⁾, Kanyutinskii⁽⁶⁾等人在(2517±2) Å 处觀察到一个尖銳的吸收極大，相应能量是 4.9 eV 左右，在 1900 Å (6.5 eV) 处觀察到另一吸收帶。Rauch⁽⁷⁾沒有觀察到第一个吸收極值。但最近 Pretzel 等人⁽⁸⁾又觀察到，且証明不是由色心引起的。現有数据不仅量少，且相互矛盾，很难作为能帶計算的依据。

綜上所述，为得到关于 LiH 晶体在給定晶格常数下能帶結構的詳細知識（價帶，導帶及態密度）必須重作計算。

从計算方法来看，元胞法必須放棄，因为对双原子晶体元胞无方便而合理的取法，中心位勢的假定不合理，同时能譜對边界条件取法很敏感。緊束縛法适于計算离子晶体的價帶，不宜于計算導帶。为了从同一个哈密頓量出发，用統一的方法計算價帶与導帶，力求各帶的相对位置比較合理，同时适用于各种晶格常数的情形，我們選用了正交化平面波方法（以后簡稱 OPW）这是用 OPW 方法計算离子晶体能帶的初次尝试。由于 H⁻ 电子云相当弥散，可以用平面波型的波函数相当好地描述。根据 LiH 晶体的特点，參照緊束縛方法，我們对 OPW 方法做若干变化与改进（心态能量的計算，交換勢的处理），在充分利用电

子計算机求得收敛結果的条件下，我們期望这样算得的能帶結構就其主要特点与相对位置而論应与实际情况相差不远。

对于給定的晶格常数，比热的計算分为四个部分。首先利用OPW方法算出布里渊区中高对称点的能量值（价态与导态）；其次根据这些值用内插方法求出能譜的近似解析表达式；再次是計算价带与导带的态密度；最后計算电子体系在不同温度下的总能量，对温度进行微商之后求出比热。具体的計算方法将在以下各节中分別叙述。

仅仅藉助于理論計算很难期望得到在所有细节上与实际情况相符的能帶結構。我們將指出这个計算对可变參量的依存关系（整个計算只包括三个参数，除晶格常数外还有 H^- 与 Li^+ 离子波函数的参数 α, β ）。将来积累了足夠的实验数据后，以这个計算为基礎，用半經驗方法調整参数就可以得到与实际情况更加符合的結果。

§ 2 LiH 晶体结构的对称分析

离子晶体 LiH 屬 $NaCl$ 结构，其晶格点陣如图1所示。如果取某个 Li^+ 离子为坐标原点，其它 Li^+ 与 H^- 离子的位置分別由矢量
$$\vec{R}_\mu = \alpha(\mu_1, \mu_2, \mu_3), \quad \vec{R}_{\mu'} = \vec{R}_\mu + \vec{\delta}$$
表示，其中 $\vec{\delta} = (\alpha, 0, 0)$ ，而晶格常数 $2a = 7.7168a_0$ ， a_0 乃第一玻尔半径。每个元胞內有 H^- ， Li^+ 离子各一个，体积为 $\Omega = 2a^3$ 。倒格矢量为 $\vec{K}_n = \frac{\pi}{a}(n_1, n_2, n_3)$ 約化布里渊区的体积 $\Omega_B = 4(\frac{\pi}{a})^3$ 。这里 n_i 是包括零的正負整数，它們的允許值分別

由面心与体心立方对称
所决定。

约化布里渊区的高
对称点与对称方向示于
图2，它们的一些主要
性质列举在表I中。

在OPW方法中将
属于同一对称点的，具
有相同 $K_i = |\vec{K} + \vec{R}_{ih}|$

值的一些平面波组合成为对称化平面波（简记为SPW）一波矢群
不可约表示

的正交归一
基矢量。

SPW按 K_i
长度分组，
即 $K_j \geq K_i$ 。
如果 $j > i$ 。

我们在附录
一中给出一
些对称点的

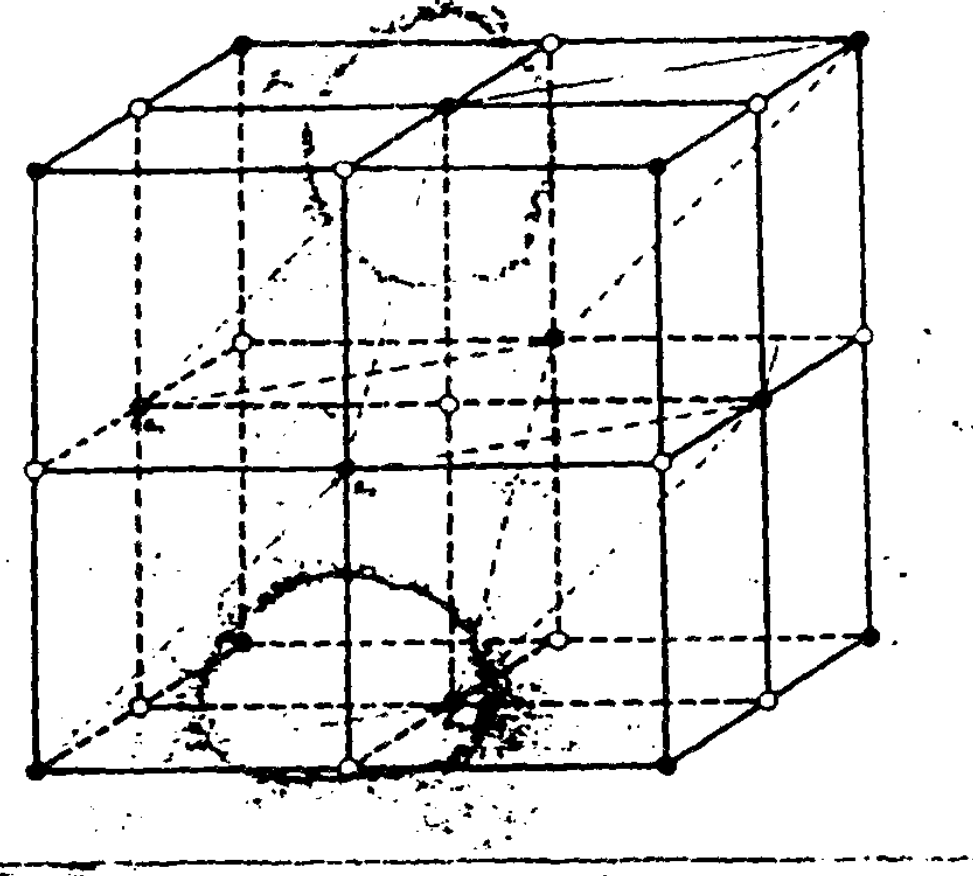


图1·钻石晶格点阵

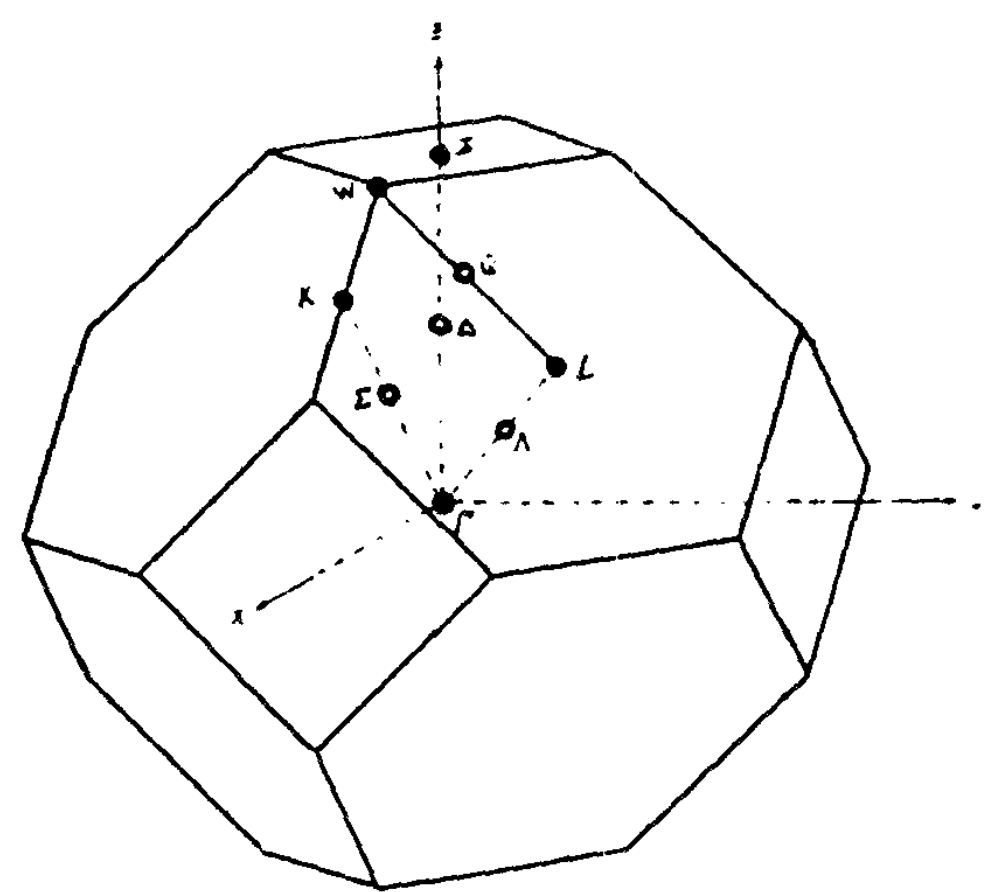


图2·约化布里渊区

这种分組。如果第*i*組中包括*g_i*個平面波，則按第*j*表示（这里只討論一維表示）交換的 SPW 記為

$$f_j^i(\vec{K}, \vec{r}) = \frac{1}{\sqrt{g_i}} \sum_{h=0}^{g_i-1} C_{ih}^j e^{i(\vec{K} + \vec{K}_{ih}) \cdot \vec{r}}, \quad (2.1)$$

$$\langle f_j^i | f_j^i \rangle = \int_V f_j^i(\vec{K}, \vec{r})^* f_j^i(\vec{K}, \vec{r}) d\vec{r} = \delta_{ij} \delta_{gg}, \quad (2.2)$$

表一·对称点的性质

对称点	Γ	L	W	X	K	Δ	A	Σ
坐标	(000)	$(\frac{1}{2} \frac{1}{2} \frac{1}{2})$	$(\frac{1}{2} 0 1)$	(001)	$(\frac{3}{4} 0 \frac{3}{4})$	(003)	$(\frac{1}{3} \frac{1}{3} \frac{1}{3})$	(303)
						$0 < g < 1$	$0 < g < \frac{1}{2}$	$0 < g < \frac{3}{4}$
与之同构的点群 波矢群	O_h	D_3	D_2	D_{4h}	C_{2v}	C_{4v}	C_{3v}	C_{2v}
阶数	4	8	12	8	16	4	8	6

其中 V 是晶体的体积。由于这一工作中只涉及到一維表示，这里及以后都略去基矢分量的标志。对称化系数可以利用投影算符 $P^{\hat{j}} = \sum_g X^j(g) g$ 求得， g 是波矢群的元素， $X^j(g)$ 是其特征标。容易証明

$$C_{ih}^j = \frac{\sum_{\alpha(h)} X^j(g_\alpha)}{|\sum_{\alpha(h)} X^j(g_\alpha)|} \quad (2.3)$$

这里是对波矢群的部分元素求和，它们滿足关系式 $g_\alpha (\vec{K} + \vec{K}_{is}) = \vec{K} + \vec{K}_{ih}$ ，其中 $\vec{K} + \vec{K}_{is}$ 是第*i*組內確定的波矢。

\vec{K}_{ij} 不同的选择至多能使 χ 差一符号。

一般說來，在複式格子中同一 Bloch 波函數在以不同類原子為中心的坐標系中將按波矢群不等價不可約表示變換。假設晶體中有 A, B 兩類原子，把群中第 S 類表示的特徵標記為 $\chi^m(S)$ ，根據 Bell⁽⁹⁾ 的工作，容易求得關係式：

$$\chi^m(S_B) = e^{i\vec{K}(E - g_A^{-1}) \vec{R}_{AB}} \chi^n(S_A), \quad (2.4)$$

S 的下標表明相應的操作是以哪一類原子為中心，E 是么元素，

$g_A \in S_A$ ， \vec{R}_{AB} 是從 A 到 B 的矢量。根據 (2.4) 式，可以把約化布里渊區中的高對稱點分為兩類，第一類是對所有群元素指數因子

$$e^{i\vec{K}(E - g_A^{-1}) \vec{R}_{AB}} = 1, \text{ 例如 } \Gamma, X, \Sigma, \Delta \text{ 和 } \Xi \text{ 等。} \quad \text{更換}$$

坐標原點時，這類對稱點的表示不會發生變化。第二類是對部分元素指數因子不為 1（在 NaCl 結構情況下是 -1），例如對 L, W, Q 點，對它們來說改變坐標原點時，不可約表示有如下對應關係：

$$L_1 \leftrightarrow L'_1 \quad W_1 \leftrightarrow W'_1$$

$$L_2 \leftrightarrow L'_2 \quad W_2 \leftrightarrow W'_2 \quad Q^+ \leftrightarrow Q^-$$

$$L_3 \leftrightarrow L'_3 \quad W_3 \leftrightarrow W'_3 \quad (2.5)$$

以後將常常用組成波矢群表示基矢的最低階球諧函數的對稱性來稱呼該表示。如 Γ_1 稱為 S 表示， L'_2 稱為 P 表示等。

從緊束縛觀點考慮，LiH 晶體的心態對應於 Li^+ 禹子的 1s 能級，价態對應於 H^- 的 1s 能級，導態對應於 Li^+ 的 2s 能級，它們相應

的对称类型列在表Ⅱ中。根据自由电子近似的分析(10)，最低能带的对称性也不与紧束缚分析的结果矛盾，既然这两种极限情况下各带的对

表Ⅱ·晶体波函数对称性

对称性	K点 坐标原点	Li+离子为坐标原点		H-离子为坐标原点	
		1类	2类	1类	2类
心 态	S	S	S	P	
价 态	S	P	S	S	
导 态	S	S	S	P	

称性质相同，我们将以此作为OPW计算的出发点。经过检验计算，没有发现比所取表示能量更低的本征值(详见§9·5)。

§3 哈密顿量

LiH晶体中电子的 Hartree-Fock 哈密顿量写成：

$$H = -\Delta + V^{\text{Coul}}(\vec{r}) + V^{\text{ex}}(\vec{r}),$$

其中库仑位势：

$$\begin{aligned}
 V^{\text{Coul}}(\vec{r}) = & -\sum_{N} \frac{6}{\mu |\vec{r} - \vec{R}_N|} - \sum_{N} \frac{2}{\mu |\vec{r} - \vec{R}_{N'}|} + \\
 & + 4 \sum_{N} \int \frac{|U(\vec{r} - \vec{R}_N)|^2}{|\vec{r} - \vec{r}'|} d\vec{r}' + \\
 & + 4 \sum_{N'} \int \frac{|U(\vec{r}' - \vec{R}_{N'})|^2}{|\vec{r} - \vec{r}'|} d\vec{r}'.
 \end{aligned} \quad (3.2)$$

交换势由以下算符定义：

$$V^{\text{ex}}(\vec{r}) \psi(\vec{r}) = -2 \sum_{\mu} \int \frac{U^*(\vec{r}-\vec{R}_{\mu}) \psi(\vec{r}')}{|\vec{r}-\vec{r}'|} d\vec{r}' U(\vec{r}-\vec{R}_{\mu}) \\ - 2 \sum_{\mu} \int \frac{\varphi^*(\vec{r}'-\vec{R}_{\mu}) \psi(\vec{r}')}{|\vec{r}-\vec{r}'|} d\vec{r}' \varphi(\vec{r}-\vec{R}_{\mu}) \quad (3.3)$$

这里是对所有正格格点 \vec{R}_{μ} 或 $\vec{R}_{\mu'}$ 求和。公式中采用原子单位制，即长度以第一玻尔半径 $a_0 = 5.291508 \times 10^{-9} \text{ cm}$ 为单位，能量以里德堡 ($1 \text{ Ry} = 13.60353 \text{ eV}$) 为单位。如果把 u, φ 选成是由晶体心态和价态的准确 Bloch 波函数构成的 Wannier 型函数，(3.1) 式便是 H-E 自洽场意义上准确的晶体哈密顿量。容易检验，它具有 LiH 晶体的全部空间群对称。

由于对整个晶体哈密顿量作自洽计算超出目前的实际可能性，我们选取由适当原子型波函数构成的 H-E 型哈密顿量为计算出发点。这里主要是在库仑和交换部分都要保证有比较合理的电荷分布。近年来金属与半导体中能带计算的经验表明，只要充分考虑对称性，能带结构的一般特点对电荷分布的细小情况并不敏感。原则上可以取 Li^+ 和 H^- 离子的 H-E 计算结果作 (3.2) 与 (3.3) 式中的 u, φ 函数。由于这种函数是用数值表给出的，具体计算很不方便。Slater 型的变分波函数：

$$U(\vec{r}) = U_{1s}^{L+}(\vec{r}) - \left(\frac{\beta^3}{\pi}\right)^{1/2} e^{-\beta r}, \quad \beta = \frac{43}{16} \quad (3.4)$$

$$\varphi(\vec{r}) = \varphi_{1s}^{H-}(\vec{r}) = \left(\frac{\alpha^3}{\pi}\right)^{1/2} e^{-\alpha r}, \quad \alpha = \frac{11}{16} \quad (3.5)$$

与 $Li+(11)$ 和 $H^-(12)$ 的 $H - F$ 数值解已十分接近，只是在 r 较大时衰减得比 H^-F 波函数快。从保证晶体中恰当的电荷分布看，这种较快的衰减反而是有利的。现有 LiH 的结合能计算 [13] 中都利用这种波函数。计算结果与实验符合较好。

需要说明， $H - F$ 单电子哈密顿量中的 u 、 φ 函数应满足正交归一条件。 $(3 \cdot 4)$ 、 $(3 \cdot 5)$ 式给出的不同格点上的离子波函数有迭加，不满足正交条件。现有采用 OPW 方法所作的能带计算中都略去这种迭加效应，这主要是考虑到方法本身的特点。在紧束缚的计算中，晶体波函数本身是由 φ 函数组合成的，迭加效应必须考虑。在 OPW 方法中 u 、 φ 函数只是给出电荷分布，从而确定位势；价态波函数和能量是用变分法求得的，对电荷分布的细节不敏感。在哈密顿量 $(3 \cdot 2)$ 、 $(3 \cdot 3)$ 式中完成离子轨道的正交化没有原则的困难，但会大大地增加数值计算量。

对于交换项，现有金属与半导体的能带计算中一般采用 Slater 近似，即把交换算符换成了平均的交换势 $-6(\frac{3}{8\pi} \rho(\vec{r}))^{1/3}$ ， $\rho(\vec{r})$ 是电子云密度。这种近似对金属是合理的，因为金属中电子的行为与自由电子很相近。 LiH 中电子数目较少，电子云分布比较局域，我们认为这种近似是不恰当的。但正好利用 LiH 中电子状态数目很少的特点，我们可以按交换符的严格定义去算矩阵元，不把它换成交换势。我们期望这样算得的结果应该是更为可靠的。

§ 4 对称点的能量值

1. OPW方法的描述

OPW方法是一种用变分法求解晶体中单电子薛定谔方程的近似方法。它以与心态正交的正交化平面波作为试探函数。试探函数具有 Bloch 波的特点。OPW方法本身已有详尽的总结^[14]。为了叙述之方便，这里针对 Li+这一具体对象给出简要的描述。

根据 § 2 的对称分析，心态是由 Li+ 离子的 1s 态构成的束缚态

→ 1. 型 Bloch 波：

$$\psi_c(\vec{K}; \vec{r}) = \frac{1}{\sqrt{N}} \sum_{\mu} e^{i \vec{K} \vec{R}_{\mu}} U(\vec{r} - \vec{R}_{\mu}), \quad (4.1)$$

其中 N 为晶体中元胞的数目。对于确定的波矢 \vec{K} ，按不可约表示 $\vec{\chi}_i$ 变换的第 i 个 OPW 是

$$\chi_i^{\pm}(\vec{K}; \vec{r}) = f_i^{\pm}(\vec{K}; \vec{r}) - Q_i^{\pm}(\vec{K}) \psi_c(\vec{K}; \vec{r}), \quad i=0, 1, \dots, m, \quad (4.2)$$

其中 f_i^{\pm} 是对称化平面波，

$$Q_i^{\pm}(\vec{K}) = \langle \psi_c | f_i^{\pm} \rangle = \langle f_i^{\pm} | \psi_c \rangle^* \quad (4.3)$$

是正交化系数。变分试探函数写成：

$$\psi^{\pm}(\vec{K}; \vec{r}) = \sum_i A_i^{\pm}(\vec{K}) \chi_i^{\pm}(\vec{K}; \vec{r}) \quad (4.4)$$

将能量期待值对 A_i^{\pm} 变分，得出定 A_i^{\pm} 的线性方程组

$$\sum_i [\langle \chi_i^{\pm} | H | \chi_i^{\pm} \rangle - E \langle \chi_i^{\pm} | \chi_i^{\pm} \rangle] A_i^{\pm}(\vec{K}) = 0, \quad i=0, 1, \dots, m \quad (4.5)$$

方程组有解的条件是系数行列式

$$|\langle \chi_i^{\pm} | H | \chi_i^{\pm} \rangle - E \langle \chi_i^{\pm} | \chi_i^{\pm} \rangle| = 0. \quad (4.6)$$